

06.2; 11

© 1990

ДИФРАКЦИОННЫЕ СТРУКТУРЫ В
ПЕРЕКРИСТАЛЛИЗОВАННЫХ СЛОЯХ
ПОЛИКРИСТАЛЛИЧЕСКОГО КРЕМНИЯ ПОД ДЕЙСТВИЕМ
ЛАЗЕРНОГО ИЗЛУЧЕНИЯ
НАНОСЕКУНДНОЙ ДЛИТЕЛЬНОСТИ

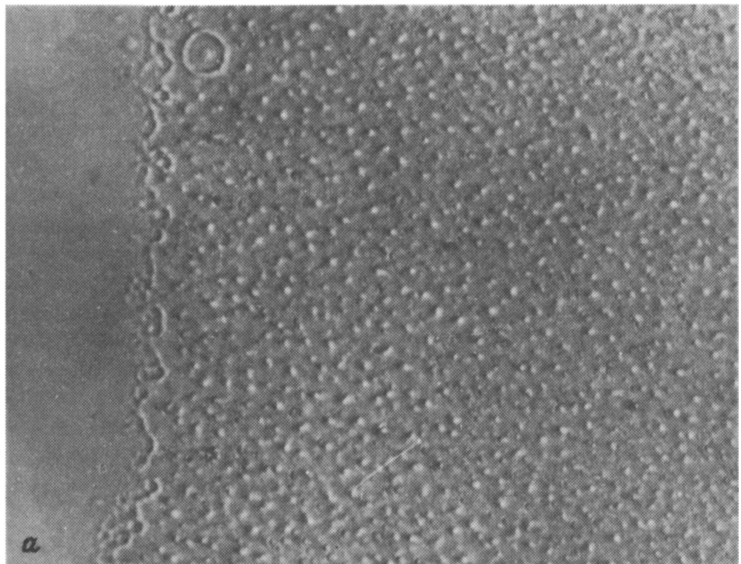
А.В. Д е м ч у к, В.А. Л а б у н о в

Процессы модификации поверхности твердых тел под действием интенсивных лазерных пучков привлекают большое внимание исследователей. Полученные результаты в данной области за последнее десятилетие демонстрируют широкие возможности данного метода в технологии формирования полупроводниковых структур и интегральных микросхем [1]. В то же время многие стороны этого процесса недостаточно хорошо изучены, что ограничивает использование его в настоящее время в практических целях.

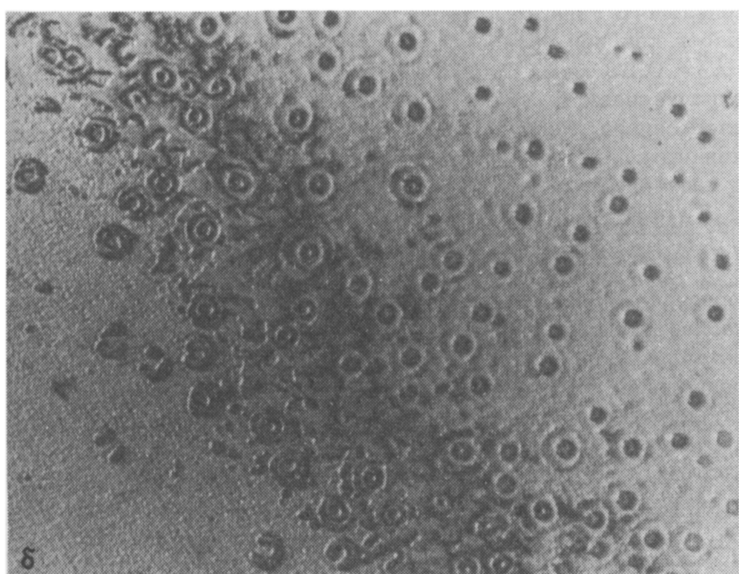
В данной работе представлены результаты экспериментальных исследований по модификации морфологии и структуры поверхности слоев поликристаллического кремния (ПКК) под действием лазерного излучения наносекундной длительности и сообщается об образовании поверхностных структур (ПС) нового типа, не наблюдавшихся ранее, связанных с дифракцией лазерного излучения в перекристаллизуемом слое.

Исследования проводились на слоях ПКК толщиной 0.45 мкм, полученных методом химического осаждения из паровой фазы при пониженном давлении $P = 80$ Па и температуре $T = 625 \pm 25$ °С. В качестве подложек, на которые осаждали слой ПКК, использовали чистые и окисленные ($h_{SiO_2} = 0.1$ мкм) монокристаллические кремниевые пластины с ориентировкой поверхности (100) и (111). В слой ПКК имплантировали ионы фосфора ($E = 100$ кэВ, $D = 2 \cdot 10^{15}$ см $^{-2}$), что сопровождалось аморфизацией его поверхности. Обработку поверхности слоев ПКК осуществляли одним импульсом излучения основной и второй гармоник лазера на неодимовом стекле с длинами волн 1.06 и 0.53 мкм, работающем в режиме модулированной добротности с длительностью импульса $\tau_H = 50$ нс. Плотность энергии в импульсе варьировалась с помощью нейтральных калиброванных светофильтров в диапазоне 0.1–5 Дж/см 2 с точностью $\pm 10\%$. Лазерную обработку осуществляли на воздухе при комнатной температуре.

Морфологию поверхности перекристаллизованных образцов исследовали методом оптической микроскопии в сочетании с обработкой в структурно-чувствительном травителе Сиртла, а также элект-



a



δ

Рис. 1.

ронной микроскопии платино-углеродных реплик, кристаллическую структуру – методом электронографии на отражение. Пространственную локализацию фронта плавления выявляли на косых шлифах структур декорирования в хромовом травителе.

Как показывают проведенные исследования, при достижении полного плавления поверхности ($j \sim 0.9 \text{ Дж}/\text{см}^2$ $\lambda_1 = 1.06 \text{ мкм}$, $j \sim 0.5 \text{ Дж}/\text{см}^2$ $\lambda_2 = 0.53 \text{ мкм}$) формируется однородная мелкокристаллическая структура с $\langle 110 \rangle$ текстурой, аналогичной неповрежденному ионной имплантацией слою ПКК. С увеличением плотности энергии падающего излучения глубина проникновения фронта плавления возрастает и при достижении фронтом плавления подложки ($j \sim 1.2 \text{ Дж}/\text{см}^2$ $\lambda_1 = 1.06 \text{ мкм}$, $j \sim 0.9 \text{ Дж}/\text{см}^2$ $\lambda_2 = 0.53 \text{ мкм}$) наблюдается резкий переход от мелкокристаллической к крупнокристаллической структуре с размером зерна 0.2–0.4 мкм с развитым рельефом поверхности (см. рисунок, а). На образцах с монокристаллической подложкой с проникновением фронта плавления вглубь подложки реализуются условия эпитаксиальной кристаллизации.

При травлении перекристаллизованных образцов на границе перехода к крупнокристаллической структуре выявляются характерные ПС кольцевого типа (см. рисунок, б). Образование этих ПС наблюдалось как при обработке излучением с $\lambda_1 = 1.06 \text{ мкм}$, так и с $\lambda_2 = 0.53 \text{ мкм}$. Однако необходимо отметить, что при обработке излучением с $\lambda = 1.06 \text{ мкм}$ ПС этого типа проявляются наиболее сильно. Радиус (r_1) этих кольцевых ПС при обработке излучением с $\lambda_1 = 1.06 \text{ мкм}$ был равен 2.0 мкм, а при обработке излучением с $\lambda_2 = 0.53 \text{ мкм}$ их радиус (r_2) равен 1.4–1.5 мкм. При этом имеет место следующее соотношение:

$$r_1/r_2 = \sqrt{\lambda_1/\lambda_2} = \sqrt{2} \approx 1.4.$$

Образование этих ПС, проявляющихся в селективном изменении кристаллической структуры на пороге перехода от мелко- к крупнокристаллической структуре, очевидно, связано с локальным перераспределением энергии лазерного излучения. При травлении в структурно-чувствительном травителе области с мелкокристаллической структурой вследствие более высоких скоростей травления травятся быстрее, и на протравленной поверхности формируется соответствующий кристаллической структуре рельеф. Связь параметров ПС с длиной волны падающего излучения свидетельствует о том, что такое перераспределение энергии наиболее вероятно связано с дифракцией лазерного излучения на поглощающем слое облучаемого вещества.

Механизм образования этих ПС можно объяснить следующим образом. Как было показано ранее [2, 3], на начальных этапах воздействия лазерного излучения данного диапазона длительности на поверхности твердого тела с превышением пороговых значений плотности энергии реализуется локальное плавление поверхности с размером локальных областей расплава значительно меньшим λ .

С увеличением энергии плотность локальных областей расплава и их размеры возрастают, они сливаются с образованием обширных областей расплава. Рост областей расплава в основном осуществляется вширь. На определенном этапе их развития, очевидно, реализуется состояние, при котором в сплошном слое расплава существуют области твердой фазы правильной круглой формы достаточно малого размера. Такое состояние поверхности идеализировано можно представить в виде некоторой экранирующей плоскости (области расплава, где большая часть излучения отражается, а оставшаяся — поглощается в бесконечно тонком слое), в которой существуют круглые отверстия (области твердой фазы с достаточно большой глубиной поглощения). Согласно принципу Гюйгенса-Френеля, когда радиус этих „отверстий“ равен радиусу m -й зоны Френеля r_m при условии $m < 10$, реализуются условия Френелевской дифракции на отверстии круглой формы [4]. Радиус m -й зоны Френеля равен

$$r_m = \sqrt{m \frac{\alpha \cdot b}{\alpha + b} \lambda}, \quad (1)$$

где α — расстояние от тоочного источника света до экранирующей поверхности, b — расстояние от экранирующей поверхности до плоскости наблюдения. Для плоской волны $\alpha = \infty$ и, согласно (1),

$$r_m \approx \sqrt{mb\lambda}. \quad (2)$$

В качестве оценочного значения b можно взять значение толщины слоя ПКК (0.45 мкм). Тогда для реализации условий дифракции лазерного излучения с $\lambda = 1.06$ мкм на круглом отверстии в данных условиях необходимо выполнение соотношения $r_m = 0.7\sqrt{m}$ мкм, верхнее значение которого при $m = 10$ $r_m \approx 2.2$ мкм. Радиус же образующихся ПС составляет ~ 2.0 мкм (см. рисунок, б), что хорошо согласуется с оценочным значением.

Необходимо также отметить еще одну характерную особенность этих ПС. В центре ПС при травлении заметно образование выступов, соответствующих максимуму распределения интенсивности излучения („отверстие“ открывает нечетное число зон), или ямок, соответствующих гашению излучения в этой области („отверстие“ открывает четное число зон), что также подтверждает дифракционный механизм их формирования.

При обработке излучением с $\lambda_2 = 0.53$ мкм размеры „отверстий“ в слое расплава, удовлетворяющие дифракционным условиям, соответственно уменьшаются в $\sqrt{2} \approx 1.4$ раза. Вероятно, что соль малые островки твердой фазы оказываются менее стабильными и проявление этого эффекта затруднено в данном диапазоне длительности обработки. В тех же областях, где наблюдалось обра-

зование этих структур, их радиус уменьшался до значения ~ 1.4 -
1.5 мкм, что хорошо согласуется с вышеизложенными представле-
ниями. Необходимо отметить, что аналогичные структуры образуют-
ся и на образцах с окисленной подложкой.

Образование данных ПС в области границы перехода от мелко-
к крупнокристаллической структуре связано с пороговым эффектом
резкого изменения структуры при малых изменениях плотности
энергии лазерного излучения. Очевидно, в допороговых режимах
обработки, несмотря на наличие таких локальных дифракционных
изменений лазерного излучения, этих ПС не образуется.

С п и с о к л и т е р а т у р ы

- [1] Модификация и легирование поверхности лазерными, ионными и электронными пучками. / Под ред. Дж. М. Пуута, Г. Фоти, Д.К. Джекобсона. М.: Машиностроение, 1987. 424 с.
- [2] Пристрем А.М., Демчук А.В., Данилович Н.И. // ЖТФ. 1986. Т. 56. Вып. 6. С. 1220-1224.
- [3] Батищев С.А., Данилович Н.И., Демчук А.В. и др. // Тез. докл. ХШ Междунар. конф. по ко-
герентной и нелинейной оптике (Минск, 6-9 сент. 1988 г.)
Минск, 1988. Ч. 1. С. 36-37.
- [4] Ландсберг Г.С. Оптика. М.: Наука, 1976. С. 160.

Минский радиотехнический
институт

Поступило в Редакцию
5 марта 1990 г.

Письма в ЖТФ, том 16, вып. 12
04; 05.2

26 июня 1990 г.

© 1990

ДИАМАГНИТИЗМ НЕРАВНОВЕСНОЙ
ПОЛУПРОВОДНИКОВОЙ ПЛАЗМЫ

В.Н. Подшивалов, В.В. Масалов,
В.И. Махов

Известно, что равновесная плазма твердого тела не обладает
магнитными свойствами. Магнетизм неравновесной плазмы твердого